

PROBLEME A :

I) Principe du radar :

1) * amplitude E_0

* polarisation rectiligne selon Ox $\Rightarrow \vec{E} \propto \vec{u}_x$

* propagation dans le sens des z croissant \Rightarrow la phase est $(\omega t - k z)$

* $k = \frac{\omega}{c}$ (air assimilé au vide)

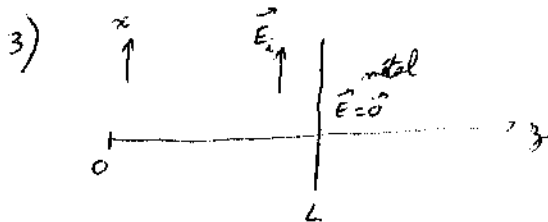
$$\Rightarrow \vec{E} = E_0 \cos\left[\omega\left(t - \frac{z}{c}\right)\right] \vec{u}_x$$

(choix: en $z=0$: $\vec{E} = E_0 \cos \omega t \vec{u}_x$, phase déphasage supplémentaire)

2) conducteur parfait $\Rightarrow \gamma \rightarrow \infty$

ou $\vec{j} = \gamma \vec{E}$ (loi d'Ohm)

et \vec{j} doit être fini $\Rightarrow \vec{E} = \vec{0}$ dans le métal



continuité de la composante tangentielle du champ électrique

$$\text{en } z=L \Rightarrow (\vec{E}_i + \vec{E}_r)_{z=L} = \vec{E}_{\text{métal}} = \vec{0}$$

\vec{E}_r se propage dans le sens des z décroissant

\Rightarrow la phase est $(-\omega(t + \frac{z}{c}) + K)$

$$\vec{E}_r = E_1 \cos\left[\omega_1\left(t + \frac{z}{c}\right) + K\right] \vec{u}_x$$

$$E_0 \cos\left[\omega\left(t - \frac{z}{c}\right)\right] \vec{u}_x + E_1 \cos\left[\omega_1\left(t + \frac{z}{c}\right) + K\right] \vec{u}_x = \vec{0} \quad \forall t$$

$$\Rightarrow \vec{E}_r = -E_0 \cos\left[\omega\left(t + \frac{z-2L}{c}\right)\right] \vec{u}_x \quad \omega_1 = \omega, E_1 = E_0 \text{ et } K = -\frac{2L}{c}$$

4) distance parcourue par l'onde: $2L$ (aller-retour) à la vitesse c pendant le temps Δt

$$\Rightarrow c = \frac{2L}{\Delta t} \Rightarrow L = \frac{c \Delta t}{2} = 330 \text{ km}$$

II) Etude du détecteur :

$$1/a) \lambda = \frac{c}{f} = 0,1 \text{ m} = 10 \text{ cm}$$

on a une OPPD se propageant dans le sens des z décroissant

$$\Rightarrow \vec{B}_r = \frac{-\vec{u}_z \wedge \vec{E}_i}{c} = \frac{E_0}{c} \cos\left[\omega\left(t + \frac{z-2L}{c}\right)\right] \vec{u}_y$$

$\Rightarrow \vec{B}_r$ ne dépend pas de x , mais par contre, il dépend de z . Mais sur le détecteur, z varie peu (de $-\frac{h}{2}$ à $\frac{h}{2}$)

$$\frac{h}{c} = 1,67 \cdot 10^{-11} \quad \omega \frac{h}{c} = 0,314 \text{ rad} = 18^\circ$$

\Rightarrow la phase varie peu sur le détecteur

\Rightarrow on peut considérer que le champ magnétique de l'onde réfléchi est quasiment uniforme sur le détecteur.

$$\text{On va le choisir égal à } \vec{B}_r(z=0) = \frac{E_0}{c} \cos\left[\omega\left(t - \frac{2L}{c}\right)\right] \vec{u}_y$$

$$\phi = \iint_{\text{détecteur}} \vec{B}_r \cdot d\vec{S} \approx \vec{B}_r(z=0) \cdot \vec{S} = S u_y \quad (S = RL \times N \text{ Noyaux})$$

$$\Rightarrow \phi = \frac{N E_0 R L}{c} \cos\left[\omega\left(t - \frac{2L}{c}\right)\right]$$

$$1/b) \text{ loi de Faraday: } e = -\frac{d\phi}{dt} = + \frac{N E_0 R L}{c} \omega \sin\left[\omega\left(t - \frac{2L}{c}\right)\right]$$

$$\Rightarrow V_{s_{eff}} = \frac{e_{max}}{\sqrt{2}} = \frac{N E_0 R L \omega}{c \sqrt{2}} = V_{s_{eff}}$$

$$2/a) \frac{E_0}{\sqrt{2}} = E_{s_{eff}} = \frac{V_{s_{eff}} c}{N R L \omega} = 3,18 \cdot 10^{-3} \text{ V} \cdot \text{m}^{-1}$$

$$2/b) \vec{\pi} = \frac{\vec{E} \wedge \vec{B}}{\mu_0} \Rightarrow \langle \vec{\pi} \rangle = \frac{1}{2} \text{Re} \left(\frac{\vec{E} \wedge \vec{B}^*}{\mu_0} \right)$$

$$\text{avec } \vec{E} = -E_0 e^{i(\omega(t + \frac{z-2L}{c}))} \vec{u}_x \text{ et } \vec{B} = \frac{E_0}{c} e^{i(\omega(t + \frac{z-2L}{c}))} \vec{u}_y$$

$$\Rightarrow \langle \vec{\pi} \rangle = \frac{1}{2 \mu_0} \left(-\frac{E_0^2}{c} \vec{u}_z \right) = -\frac{E_0^2}{2} \frac{1}{\mu_0 c} \vec{u}_z$$

$$P = \langle \vec{\pi} \rangle \cdot \vec{S}_{\text{détecteur}} = \frac{E_0^2}{2} \frac{1}{\mu_0 c} = \frac{E_{s_{eff}}^2}{\mu_0 c}$$

$$P = \frac{E_{s_{eff}}^2}{\mu_0 c} = 2,68 \cdot 10^{-16} \text{ W} \cdot \text{m}^{-2}$$

III) Etude générale du guide d'onde :

1) Maxwell-Courant : $\text{div } \vec{E} = \frac{\rho}{\epsilon_0} \Rightarrow \text{div } \vec{E} = 0$

Maxwell-flux : $\text{div } \vec{B} = 0$

Maxwell-Faraday : $\text{rot } \vec{E} = -\frac{\partial \vec{B}}{\partial t}$

Maxwell-Ampère : $\text{rot } \vec{B} = \mu_0 \vec{j} + \frac{1}{c^2} \frac{\partial \vec{E}}{\partial t} \Rightarrow \text{rot } \vec{B} = \frac{1}{c^2} \frac{\partial \vec{E}}{\partial t}$

2) $\text{div } \vec{E} = \frac{\partial E_x}{\partial x} + \frac{\partial E_y}{\partial y} + \frac{\partial E_z}{\partial z} = 0$

or $E_y = E_z = 0 \Rightarrow \frac{\partial E}{\partial x} = 0$

$\Rightarrow E$ ne dépend pas de $x \Rightarrow E(x, y) = E(y)$

3) $\text{rot rot } \vec{E} = \text{grad div } \vec{E} - \Delta \vec{E} = -\Delta \vec{E}$
 $= \text{rot} \left(-\frac{\partial \vec{B}}{\partial t} \right) = -\frac{\partial}{\partial t} \text{rot } \vec{B} = -\frac{\partial}{\partial t} \left(\frac{1}{c^2} \frac{\partial \vec{E}}{\partial t} \right)$

$\Rightarrow \Delta \vec{E} - \frac{1}{c^2} \frac{\partial^2 \vec{E}}{\partial t^2} = \vec{0} = \Delta \vec{E}$

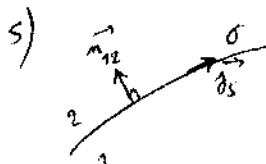
4) $\Delta \vec{E} \begin{pmatrix} \Delta E_x \\ \Delta E_y \\ \Delta E_z \end{pmatrix} = \begin{pmatrix} \frac{\partial^2 E}{\partial y^2} + \frac{\partial^2 E}{\partial z^2} \\ 0 \\ 0 \end{pmatrix}$

$\Rightarrow \frac{\partial^2 E}{\partial y^2} + \frac{\partial^2 E}{\partial z^2} - \frac{1}{c^2} \frac{\partial^2 E}{\partial t^2} = 0$

$\Rightarrow E''(y) - E(y)k^2 - \frac{1}{c^2} (-\omega^2) E(y) = 0$

$E''(y) + \left(\frac{\omega^2}{c^2} - k^2 \right) E(y) = 0$

$E''(y) + \chi^2 E(y) = 0$



juste de chaque côté de la surface :

$\vec{E}_2 - \vec{E}_1 = \frac{\sigma}{\epsilon_0} \vec{n}_{12}$
 $\vec{B}_2 - \vec{B}_1 = \mu_0 \vec{j}_s \wedge \vec{n}_{12}$

6) a) Dans le métal conducteur parfait : $\vec{E} = \vec{0}$

continuité de la composante tangentielle du champ électrique
 $+ \vec{E} \wedge \vec{n}_{xx}$ est tangentielle en $y=0$ et $y=a$

$\Rightarrow E(y=0) = E(y=a) = 0$

6) b) $E''(y) + \chi^2 E(y) = 0$ avec $\chi^2 > 0$ et $\chi > 0$

$\Rightarrow E(y) = A \cos(\chi y) + B \sin(\chi y)$

or $E(0) = 0 = A \Rightarrow E(y) = B \sin(\chi y)$

et $E_0 = \text{Sup}(|E(y)|)$ (enfin d'énergie)

$\Rightarrow E(y) = E_0 \sin(\chi y)$

or $E(y=a) = 0 \Rightarrow \chi a = n\pi$

$\Rightarrow \chi = \frac{n\pi}{a} \quad n \in \mathbb{N} \quad (\chi > 0)$

* si $\chi^2 < 0$, on aurait des solutions de type exponentiel

$\chi^2 = (j\chi')^2 = -\chi'^2$

$E(y) = A e^{\chi' y} + B e^{-\chi' y}$

$E(0) = 0 = A + B \Rightarrow B = -A$

$E(a) = 0 = A e^{\chi' a} + B e^{-\chi' a} = A(e^{\chi' a} - e^{-\chi' a})$

$\Rightarrow \text{rot } A = 0 \Rightarrow E(y) = 0$

$\Rightarrow \text{rot } e^{\chi' a} = e^{-\chi' a} \Rightarrow \chi' a = 0$ impossible

\Rightarrow pas de solution si $\chi^2 < 0$

* si $\chi^2 = 0 : E''(y) = 0 \Rightarrow E(y) = Ay + B$

$E(0) = 0 = B$

$E(a) = 0 = Aa + B = Aa \Rightarrow A = 0 \Rightarrow E(y) = 0$

\Rightarrow pas de solution si $\chi^2 = 0$

7) $\vec{E} = E_0 \sin \frac{n\pi y}{a} e^{i(\omega t - kz)}$

or $\text{rot } \vec{E} = -\frac{\partial \vec{B}}{\partial t}$

$\text{rot } \vec{E} = \begin{pmatrix} \frac{\partial E}{\partial y} \\ \frac{\partial E}{\partial z} \\ 0 \end{pmatrix} = \begin{pmatrix} \frac{\partial E}{\partial y} \\ -\frac{\partial E}{\partial z} \\ 0 \end{pmatrix} = -\frac{\partial \vec{B}}{\partial t} = -i\omega \vec{B}$

$\Rightarrow -\frac{E_0 n\pi}{a} \cos \frac{n\pi y}{a} e^{i(\omega t - kz)} = -i\omega B_y$

$-ik E_0 \sin \frac{n\pi y}{a} e^{i(\omega t - kz)} = -i\omega B_z$

$B_y = \frac{k}{\omega} E_0 \sin \frac{n\pi y}{a} e^{i(\omega t - kz)}$

$B_z = \frac{E_0 n\pi}{a\omega} \cos \frac{n\pi y}{a} e^{i(\omega t - kz - \frac{\pi}{2})}$

$$\vec{B} = \frac{h}{\omega} E_0 \sin\left(\frac{n\pi y}{a}\right) \cos(\omega t - k_z z) \vec{u}_y + \frac{E_0 n\pi}{a\omega} \cos\left(\frac{n\pi y}{a}\right) \sin(\omega t - k_z z) \vec{u}_z$$

continuité de la composante normale de \vec{B}

$\rightarrow B_y(y=0) = B_y(y=a) = 0$

↑
conducteur parfait

ou $B_y(y=0) = 0$ ($\sin 0 = 0$)

et $B_y(y=a) = 0$ ($\sin n\pi = 0$)

\Rightarrow les conditions de continuité sont bien vérifiées.

8) $\vec{\Pi} = \vec{E} \wedge \vec{B}$

$$\vec{\Pi} = -\frac{E_0^2 n\pi}{\mu_0 a \omega} \sin\left(\frac{n\pi y}{a}\right) \cos\left(\frac{n\pi y}{a}\right) \cos(\omega t - k_z z) \sin(\omega t - k_z z) \vec{u}_y + \frac{h}{\omega} \frac{E_0^2}{\mu_0} \sin^2 \frac{n\pi y}{a} \cos^2(\omega t - k_z z) \vec{u}_z$$

$$\vec{\Pi} = \frac{E_0^2}{\mu_0} \left[-\frac{n\pi}{4a\omega} \sin\left(\frac{2n\pi y}{a}\right) \sin[2(\omega t - k_z z)] \vec{u}_y + \frac{h}{\omega} \sin^2 \frac{n\pi y}{a} \cos^2(\omega t - k_z z) \vec{u}_z \right]$$

$\langle \sin[2(\omega t - k_z z)] \rangle = 0$ et $\langle \cos^2(\omega t - k_z z) \rangle = \frac{1}{2}$

$$\Rightarrow \langle \vec{\Pi} \rangle = \frac{E_0^2 h}{2\mu_0 \omega} \sin^2 \frac{n\pi y}{a} \vec{u}_z$$

3) $P = \iint_S \langle \vec{\Pi} \rangle \cdot d\vec{S} = \frac{E_0^2 h}{2\mu_0 \omega} \iint \sin^2 \frac{n\pi y}{a} dx dz$

$$P = \frac{E_0^2 h b}{2\mu_0 \omega} \int_0^a \sin^2 \frac{n\pi y}{a} dy$$

ou $\sin^2 x = \frac{1 - \cos 2x}{2}$

$$P = \frac{E_0^2 h b}{4\mu_0 \omega} \int_0^a \left(1 - \cos \frac{2n\pi y}{a}\right) dy$$

$$= \frac{E_0^2 h b}{4\mu_0 \omega} \left[a - \frac{a}{2n\pi} \left[\sin \frac{2n\pi y}{a} \right]_0^a \right]$$

$$\rightarrow P = \frac{E_0^2 k a b}{4\mu_0 \omega}$$

10/a) si $k^2 < 0$ alors $k = -ik'$ avec k' réel

$$\Rightarrow \vec{E} = E(y) e^{-k'z} e^{i\omega t}$$

\Rightarrow atténuation \Rightarrow ne se propage pas si $k^2 < 0$

$$\text{ou } k^2 = \frac{\omega^2}{c^2} - \chi^2 = \frac{\omega^2}{c^2} - \frac{n^2 \pi^2}{a^2}$$

Pour que le guide d'onde propage l'onde, il faut $k^2 > 0$

$$\Rightarrow \frac{\omega^2}{c^2} > \frac{n^2 \pi^2}{a^2} \Rightarrow \omega > \frac{n\pi c}{a}$$

\rightarrow le guide d'onde est un filtre passe-haut.

Au mieux, on pourra transmettre dans le mode 1 ($n=1$)

$$\omega_c = \frac{\pi c}{a}$$

et il faut $\omega > n\omega_c$ pour que

l'onde soit transmise de ce mode n .

10/b) $f_c = \frac{\omega_c}{2\pi} = \frac{\pi c}{2\pi a} = \frac{c}{2a}$ $f_c = \frac{c}{2a} = \frac{3 \cdot 10^8}{2 \cdot 10^{-1}}$

$$f_c = \frac{c}{2a} = 1,5 \cdot 10^9 \text{ Hz} = 1,5 \text{ GHz}$$

Cette fréquence est intermédiaire aux ondes Hertziennes et TV ($f < f_c$) et radar ($f > f_c$), ce qui permet de ne garder que les ondes radar!

10/c) Il faut $f > n f_c \Rightarrow n < \frac{f}{f_c} = \frac{3,0}{1,5} = 2$

$n < 2$

\Rightarrow la seule possibilité est $n=1$

($n=2 \Rightarrow k=0 \Rightarrow$ pas de propagation)

* $P = \frac{E_0^2 k a b}{4\mu_0 \omega}$ ou $n=1 \Rightarrow k^2 = \frac{\omega^2}{c^2} - \frac{\pi^2}{a^2}$

$$E_0 = \sqrt{\frac{4\mu_0 \omega P}{k a b}} = \sqrt{\frac{4\mu_0 2\pi f P}{a b \sqrt{\frac{4\pi^2 f^2}{c^2} - \frac{\pi^2}{a^2}}}}$$

$$E_0 = \sqrt{\frac{8\mu_0 f P}{a b \sqrt{\frac{4f^2}{c^2} - \frac{1}{a^2}}}} = 13,2 \text{ V.m}^{-1}$$

III) Effets de dissipation :

1) Maxwell-Gauss: $\text{div } \vec{E} = \frac{\rho}{\epsilon_0} \Rightarrow \text{div } \vec{E} = 0 \quad (\rho=0)$

Maxwell-flux: $\text{div } \vec{B} = 0$

Maxwell-Ampère: $\text{rot } \vec{E} = -\frac{\partial \vec{B}}{\partial t}$

Maxwell-Ampère: $\text{rot } \vec{B} = \mu_0 \vec{j} + \frac{1}{c^2} \frac{\partial \vec{E}}{\partial t}$

ou loi d'Ohm: $\vec{j} = \gamma \vec{E}$

$\Rightarrow \text{rot } \vec{B} = \mu_0 \left(\gamma \vec{E} + \epsilon_0 \frac{\partial \vec{E}}{\partial t} \right)$

\uparrow courant de conduction \uparrow courant de déplacement

$\frac{\epsilon_0 \frac{\partial \vec{E}}{\partial t}}{\gamma \vec{E}} = \frac{\epsilon_0 \omega E}{\gamma E} = \frac{\epsilon_0 2\pi f}{\gamma} = \frac{2\pi f}{\mu_0 c^2 \gamma} = 1,7 \cdot 10^{-4} \ll 1$

valeur grandem

\Rightarrow on peut négliger le courant de déplacement devant le courant de conduction. $\Rightarrow \text{rot } \vec{B} = \mu_0 \gamma \vec{E}$

2) $\text{rot rot } \vec{E} = \text{grad div } \vec{E} - \Delta \vec{E} = -\Delta \vec{E}$

$= \text{rot} \left(-\frac{\partial \vec{B}}{\partial t} \right) = -\frac{\partial}{\partial t} \text{rot } \vec{B} = -\mu_0 \gamma \frac{\partial \vec{E}}{\partial t}$

$\Rightarrow \Delta \vec{E} - \mu_0 \gamma \frac{\partial \vec{E}}{\partial t} = \vec{0}$

3/a) $\Delta \vec{E} \begin{vmatrix} \Delta E_x \\ \Delta E_y \\ \Delta E_z \end{vmatrix} = \begin{vmatrix} \Delta E \\ 0 \\ 0 \end{vmatrix} = \begin{vmatrix} \frac{\partial^2 E}{\partial x^2} & \frac{\partial^2 E}{\partial y^2} & \frac{\partial^2 E}{\partial z^2} \end{vmatrix}$

$\Rightarrow \frac{\partial^2 E}{\partial y^2} = \mu_0 \gamma \frac{\partial E}{\partial t}$ avec $E = E_{0t} e^{i(\omega t - k'y)}$

$\Rightarrow E_{0t} (-k'^2) e^{i(\omega t - k'y)} = \mu_0 \gamma i \omega E_{0t} e^{i(\omega t - k'y)}$

$\Rightarrow k'^2 = -i \mu_0 \gamma \omega$

ou $-i = \left(\frac{1-i}{\sqrt{2}} \right)^2 \Rightarrow k'^2 = \left((1-i) \sqrt{\frac{\mu_0 \gamma \omega}{2}} \right)^2$

$k'^2 = \left(\frac{1-i}{\delta} \right)^2 \Rightarrow k' = \pm \frac{1-i}{\delta}$

3/b) $\Rightarrow \vec{E} = E_{0t} e^{-\frac{y}{\delta}} e^{i(\omega t - \frac{y}{\delta})} \vec{u}_x + E'_{0t} e^{+\frac{y}{\delta}} e^{i(\omega t + \frac{y}{\delta})} \vec{u}_x$

\uparrow
 tend vers 0 quand $y \rightarrow +\infty \Rightarrow E'_{0t} = 0$

$\Rightarrow \vec{E} = E_{0t} e^{-\frac{y}{\delta}} e^{i(\omega t - \frac{y}{\delta})} \vec{u}_x$

\Rightarrow l'amplitude du champ électrique décroît comme $e^{-\frac{y}{\delta}}$

Après de quelques δ , \vec{E} est quasiment nul dans le conducteur $\Rightarrow \vec{E}$ est non nul sur l'épaisseur de peau δ .

$\delta = \sqrt{\frac{2}{\mu_0 \gamma \omega}} = 9,2 \cdot 10^{-6} \text{ m}$ très faible

\Rightarrow l'onde pénètre très peu dans le métal, d'où le choix " $\vec{E} = \vec{0}$ dans le métal" pour les précédentes parties.

4) $\vec{j} = \gamma \vec{E} \Rightarrow \vec{j} = \gamma E_{0t} e^{-\frac{y}{\delta}} e^{i(\omega t - \frac{y}{\delta})} \vec{u}_x$

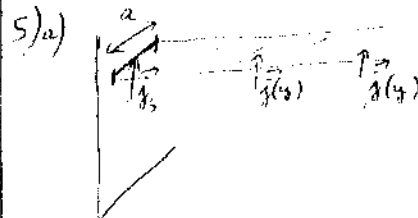
$\vec{j} = \gamma E_{0t} e^{-\frac{y}{\delta}} \cos\left(\omega t - \frac{y}{\delta}\right) \vec{u}_x$

$\frac{dP_S}{dt} = \vec{j} \cdot \vec{E} = \gamma E_{0t}^2 e^{-\frac{2y}{\delta}} \cos^2\left(\omega t - \frac{y}{\delta}\right)$

$\langle \frac{dP_S}{dt} \rangle = \frac{\gamma E_{0t}^2}{2} e^{-\frac{2y}{\delta}}$

$\langle P_S \rangle = \frac{\gamma E_{0t}^2}{2} \int_0^a e^{-\frac{2y}{\delta}} dy = \frac{\gamma E_{0t}^2}{2} \left(-\frac{\delta}{2} \right) \left[e^{-\frac{2y}{\delta}} \right]_0^a$

$\langle P_S \rangle = \frac{\gamma S \delta E_{0t}^2}{4}$



intensité traversant a : $I = \int_S \vec{j} \cdot d\vec{s}$

la surface résistante = $\int \vec{j} \cdot d\vec{s}$

$\Rightarrow I_S = \int_0^a \vec{j} \cdot d\vec{s} \Rightarrow \vec{I}_S = \int_0^a \vec{j} dy$

$\vec{I}_S = \gamma E_{0t} e^{i\omega t} \int_0^a e^{-\frac{(1-i)y}{\delta}} dy \vec{u}_x$

$= \gamma E_{0t} e^{i\omega t} \left(-\frac{\delta}{1-i} \right) \left[e^{-\frac{(1-i)y}{\delta}} \right]_0^a \vec{u}_x$

$\vec{I}_S = \frac{\gamma S E_{0t}}{1+i} e^{i\omega t} \vec{u}_x = \frac{\gamma E_{0t}}{\sqrt{2}} e^{i(\omega t - \frac{\pi}{4})} \vec{u}_x = \vec{I}_S$

$$\vec{j}_s = \frac{\delta \delta E_{0t}}{\sqrt{2}} \cos(\omega t - \frac{\pi}{4}) \vec{u}_x$$

$$s/b) \langle P_s \rangle = \frac{\delta \delta E_{0t}^2 S}{4}$$

$$j_{s, \text{eff}} = \frac{j_{s, \text{max}}}{\sqrt{2}} = \frac{\delta \delta E_{0t}}{2} \Rightarrow j_{s, \text{eff}}^2 = \frac{\delta^2 \delta^2 E_{0t}^2}{4}$$

$$\Rightarrow \langle P_s \rangle = \frac{j_{s, \text{eff}}^2}{\delta \delta} S$$

$$c/a) \text{ III) 1) : } \vec{B}(y=0) = \frac{E_0(z) m \pi}{a \omega} \sin(\omega t - k y) \vec{u}_y$$

$$\begin{aligned} \vec{B}(y=a) &= + \frac{E_0(z) m \pi}{a \omega} \sin(\omega t - k y) \vec{u}_y \text{ impair} \\ &= - \frac{E_0(z) m \pi}{a \omega} \sin(\omega t - k y) \vec{u}_y \text{ impair} \end{aligned}$$

discontinuité de la composante tangentielle de \vec{B} .

$$\vec{n}_{12} \wedge (\vec{B}_2 - \vec{B}_1) = \mu_0 \vec{j}_s$$

$$\text{en } y=0: \vec{u}_y \wedge (\vec{B}(y=0) - \vec{0}) = \mu_0 \vec{j}_s$$

$$\Rightarrow \vec{j}_s(y=0) = \frac{E_0(z) m \pi}{\mu_0 a \omega} \sin(\omega t - k y) \vec{u}_x$$

$$\text{en } y=a: \vec{u}_y \wedge (\vec{0} - \vec{B}(y=a)) = \mu_0 \vec{j}_s$$

$$\Rightarrow \vec{j}_s(y=a) = \pm \frac{E_0(z) m \pi}{\mu_0 a \omega} \sin(\omega t - k y) \vec{u}_x$$

(+ si n est impair, - si n est pair)

$$c/b) \text{ cf s/b): } dP = \frac{j_{s, \text{eff}}}{\delta \delta} b dy \text{ pour chaque paroi}$$

$$\text{ou pour chaque paroi } j_{s, \text{eff}} = \frac{E_0(z) m \pi}{\mu_0 a \omega \sqrt{2}}$$

$$\Rightarrow dP = 2 \times \frac{E_0^2(z) m^2 \pi^2}{\mu_0^2 a^2 \omega^2 2} \cdot \frac{1}{\delta \delta} b dy$$

↑
2 parois

$$\text{ou } \chi^2 = \frac{m^2 \pi^2}{a^2} \Rightarrow dP = \frac{E_0^2(z) \chi^2}{\mu_0^2 \omega^2 \delta \delta} b dy$$

$$\text{avec } \delta = \sqrt{\frac{2}{\mu_0 \delta \omega}}$$

$$\Rightarrow \frac{1}{\mu_0^2 \omega^2 \delta \delta} = \frac{\delta^2}{2 \mu_0 \omega \delta} = \frac{\delta}{2 \mu_0 \omega}$$

$$\Rightarrow dP = \frac{b E_0^2(z) \chi^2 \delta}{2 \mu_0 \omega} dy$$

f III) a) : la puissance moyenne traversant la section droite en y

$$\text{est } P(y) = \frac{E_0^2(z) k a b}{2 \mu_0 \omega}$$

$$\Rightarrow P(y) = dP + P(y+dy)$$

annulé en y ↑ dissipée ↑ sortant en $y+dy$

$$\Rightarrow \frac{k a b}{2 \mu_0 \omega} (E_0^2(z) - E_0^2(z+dy)) = \frac{b E_0^2(z) \chi^2 \delta}{2 \mu_0 \omega} dy$$

- dE_0^2

$$\Rightarrow - \frac{k a}{2} \frac{dE_0^2(z)}{dz} = \frac{\chi^2 \delta}{2} E_0^2(z)$$

$$\Rightarrow \frac{dE_0^2(z)}{dz} + \frac{2 \chi^2 \delta}{a k} E_0^2(z) = 0$$

$$c/c) \text{ On pose } l_0 = \frac{a k}{2 \chi^2 \delta} \Rightarrow \frac{dE_0^2(z)}{dz} + \frac{E_0^2(z)}{l_0} = 0$$

$$\Rightarrow E_0^2(z) = A e^{-\frac{z}{l_0}} \Rightarrow E_0(z) = \sqrt{A} e^{-\frac{z}{2l_0}}$$

$$\text{or en } z=0, E_0(z=0) = E_0 = \sqrt{A}$$

$$\Rightarrow E_0(z) = E_0 e^{-\frac{z}{2l_0}} \text{ avec } l_0 = \frac{a k}{2 \chi^2 \delta}$$

On veut propager l'onde $\Rightarrow E_0(z)$ doit rester "grand"

$$\Rightarrow \text{il faut } l_0 \text{ "grand"} \Rightarrow \frac{k}{\chi^2} \text{ "grand"}$$

$$\text{or } \chi^2 = \frac{\omega^2}{c^2} - k^2 \Rightarrow k = \sqrt{\frac{\omega^2}{c^2} - \chi^2}$$

$$\Rightarrow \text{il faut } \frac{\sqrt{\frac{\omega^2}{c^2} - \chi^2}}{\chi^2} \text{ le + grand possible}$$

$$\Rightarrow \chi^2 \text{ le + petit possible or } \chi = \frac{n \pi}{a}$$

$$\Rightarrow \text{il faut } n \text{ le + petit possible } \Rightarrow \text{on choisit } n=1$$

$$c/d) n=1 \Rightarrow \chi = \frac{\pi}{a} \text{ et } k = \sqrt{\frac{\omega^2}{c^2} - \frac{\pi^2}{a^2}}$$

$$l_0 = a \sqrt{\frac{\frac{\omega^2}{c^2} - \frac{\pi^2}{a^2}}{\frac{2 \pi^2}{a^2} \sqrt{\frac{2}{\mu_0 \delta \omega}}}}$$

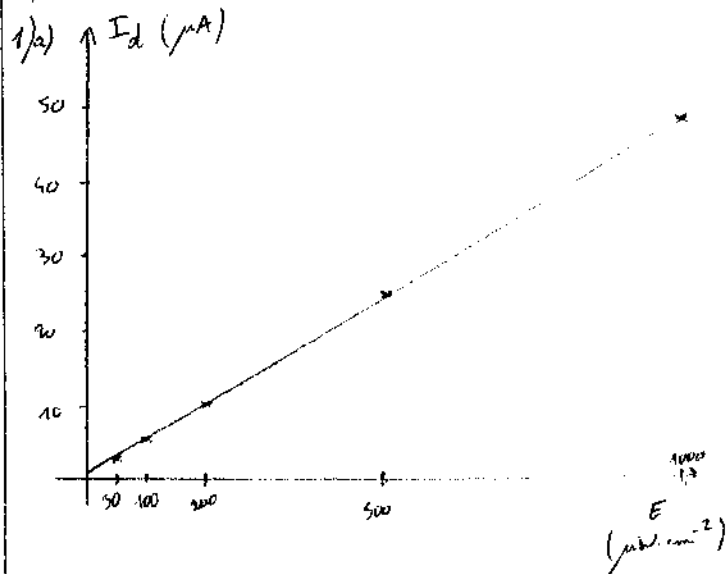
$$\Rightarrow \begin{aligned} l_0 &= 300 \text{ m} \\ 2l_0 &= 600 \text{ m} \end{aligned}$$

valeurs "grandes"

PROBLEME B: Acquisition d'une figure d'interférence

I) Photodiode:

1) Etude de la photodiode.



1/b) On obtient une droite $\Rightarrow I_d = a_i E + b_i$

a_i est en $A \cdot m^{-2} W^{-1}$ b_i est en A

On obtient une droite:

* de pente $a_i = 0,048 \mu A \cdot m^{-2} W^{-1} = 4,8 \cdot 10^{-6} A m^{-2} W^{-1}$

* d'ordonnée à l'origine $b_i = 0,28 \mu A$

b_i est le courant qui circule dans la diode en l'absence d'éclairement.

1/c) * $600 < 633 < 1090 \Rightarrow$ la photodiode est sensible à la lumière émise par ce laser.

* De plus, le laser a une grande longueur de cohérence \Rightarrow il est plus facile d'observer des interférences avec un laser qu'avec une lampe spectrale, ou pire, qu'avec une lumière blanche.

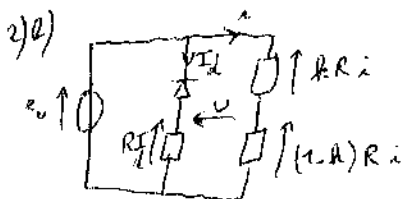
2) Conversion de l'éclairement en tension.

2/a) loi d'Ohm: $U = R I_d = (R a_i) E = U$

$\Rightarrow U$ est proportionnelle à E .

$R = \frac{U}{a_i E} = \frac{U_i E_i}{a_i E_i} = 210 k\Omega = R$

$U = (R a_i) E = \frac{U_i E_i}{E_i} E$ $U = \frac{U_i E}{E_i}$



loi des mailles: $e_0 = k R i + (1-k) R i = R i$

$U = 0 \Rightarrow R I_d = (1-k) R i = (1-k) e_0$

$R a_i E_i = (1-k) e_0$

$\Rightarrow R a_i = \frac{U_i}{E_i}$

$\left. \begin{array}{l} R a_i E_i = (1-k) e_0 \\ R a_i = \frac{U_i}{E_i} \end{array} \right\} \frac{U_i E_i}{E_i} = (1-k) e_0$

$\Rightarrow k = 1 - \frac{U_i E_i}{e_0 E_i}$

Il s'agit de brancher un voltmètre pour mesurer U . On change la valeur de k ($k R + (1-k) R$ est un potentiomètre) jusqu'à avoir $U = 0$.

2/c) on a (loi des mailles): $U + (1-k) R i = R I_d$

ou $e_0 = R i$

$\Rightarrow U = R a_i E_i - (1-k) e_0$

$= \frac{U_i}{E_i} E_i - \frac{U_i}{E_i} E_i$

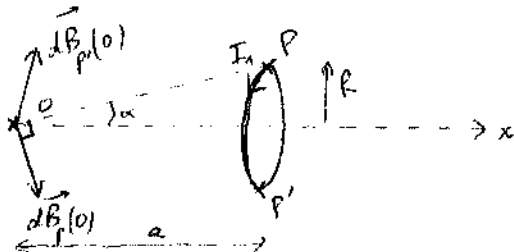
$U = \frac{U_i}{E_i} (E_i - E_i)$

II) Notion pas à pas:

1/a) * Tous les plans contenant l'axe (Ox) sont plans d'antisymétrie de la distribution de courant I .

Or \vec{B} est un pseudo-vecteur $\Rightarrow \vec{B}(0) \perp E$ à tous ces plans $\Rightarrow \vec{B}_1$ est porté par \vec{u}_x

* 2^{ème} méthode: loi de Biot et Savart:



$$\vec{dB}_p(0) = \frac{\mu_0}{4\pi} \frac{I_1 d\vec{l} \wedge \vec{PO}}{PO^3}$$

$$\vec{dB}_{p'}(0) = \frac{\mu_0}{4\pi} \frac{I_1 d\vec{l} \wedge \vec{P'O}}{P'O^3}$$

P' et P sont sur un même diamètre de la spire

$$\Rightarrow \vec{dB}_p(0) + \vec{dB}_{p'}(0) \text{ portés par } \vec{u}_x$$

$$\Rightarrow \vec{B}_1 \text{ portés par } \vec{u}_x$$

$$1/b) \vec{dB}_p(0) = \frac{\mu_0}{4\pi} \frac{I_1 d\vec{l} \wedge \vec{PO}}{PO^3}$$

$$\begin{aligned} \vec{dB}_p(0) \cdot \vec{u}_x &= \frac{\mu_0 I_1}{4\pi PO^3} \underbrace{(d\vec{l} \wedge \vec{PO}) \cdot \vec{u}_x}_{= (\vec{PO} \wedge \vec{u}_x) \cdot d\vec{l}} \\ &= PO \sin \alpha \, dl \\ &= R \, dl \end{aligned}$$

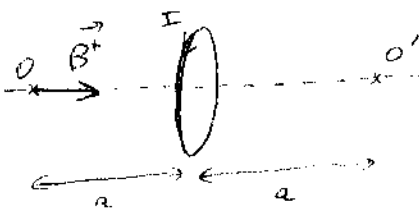
$$PO = \sqrt{a^2 + R^2} \quad (\text{théorème de Pythagore})$$

$$\Rightarrow \vec{dB}_p(0) \cdot \vec{u}_x = \frac{\mu_0 I_1 R}{4\pi (a^2 + R^2)^{3/2}} \, dl$$

$$\Rightarrow \vec{B}(0) \cdot \vec{u}_x = \frac{\mu_0 I_1 R \, 2\pi R}{4\pi (a^2 + R^2)^{3/2}}$$

$$\Rightarrow \vec{B}^+ = \frac{\mu_0 I_1 R^2}{2(a^2 + R^2)^{3/2}} \vec{u}_x$$

1/c) On ne considère pour l'instant qu'une spire.



Soit O' le symétrique de O / spire.

Le plan contenant la spire est plan de symétrie de la distribution de courant, or \vec{B} pseudo-vecteur

$\Rightarrow \vec{B}(O')$ est l'opposé du symétrique de $\vec{B}(O)$ par rapport à ce plan

$$\Rightarrow \vec{B}(O') = \vec{B}(O)$$

\Rightarrow le champ créé par la spire placée en $x = -a$ au point O est égal à \vec{B}^+

$$\Rightarrow \vec{B}_1 = 2\vec{B}^+$$

$$\vec{B}_1 = \frac{\mu_0 I_1 R^2}{(a^2 + R^2)^{3/2}} \vec{u}_x$$

2) a) référentiel: labo suppose isolé

système: rotor

actions extérieures:

$$\bullet \text{ frottements fluides: } \vec{\Gamma}_y = \vec{\Gamma}_f = -\alpha \dot{\theta}$$

$$\bullet \text{ couple } \vec{\Gamma} = M \vec{u}_3 \wedge \vec{B}_1 \quad (\text{car } \vec{B} \text{ uniforme})$$

$$\vec{\Gamma} = M B_1 (-\sin \theta) \vec{u}_3$$

$$\bullet \text{ articulation parfaite } \Rightarrow \vec{\Gamma}_y = 0$$

On applique le théo du moment cinétique projeté sur (O, \vec{u}_3) :

$$\frac{d\sigma_y}{dt} = \sum \dot{\Gamma}_y = -\alpha \ddot{\theta} - M B_1 \sin \theta$$

$$\Rightarrow \ddot{\theta} + \frac{\alpha}{J} \dot{\theta} + \frac{\mu_0 M I_1 R^2}{J(a^2 + R^2)^{3/2}} \sin \theta = 0$$

équilibre \Rightarrow pas de mouvement $\Rightarrow \ddot{\theta} = 0$ et $\dot{\theta} = 0$

$$\Rightarrow \sin \theta = 0$$

$\Rightarrow \theta = 0$ est une position d'équilibre

On laisse le terme de frottement ($\dot{\theta}$) qui ne change rien de la stabilité de l'équilibre!

$$\Rightarrow \ddot{\theta} + \omega_0^2 \sin \theta = 0$$

Partant de l'équilibre $\theta = 0$, on augmente θ légèrement

$$\Rightarrow \sin \theta > 0 \Rightarrow \ddot{\theta} < 0 \text{ qui va avoir tendance}$$

à ramener le dipôle vers $\theta = 0$.

\Rightarrow la position d'équilibre est stable.

2) b) petites oscillations $\Rightarrow \sin \theta \approx \theta$

$$\rightarrow \ddot{\theta} + 20 \omega_0 \dot{\theta} + \omega_0^2 \theta = 0$$

$$\text{avec } \omega_0^2 = \frac{\mu_0 M I_1 R^2}{J(a^2 + R^2)^{3/2}} \text{ et } 20 \omega_0 = \frac{\alpha}{J}$$

$$\Rightarrow \omega_c = \sqrt{\frac{\mu_0 M I_1 R^2}{J(a^2 + R^2)^{3/2}}} \text{ et } \sigma = \frac{\alpha}{2J} \sqrt{\frac{J(a^2 + R^2)^{3/2}}{\mu_0 M I_1 R^2}}$$

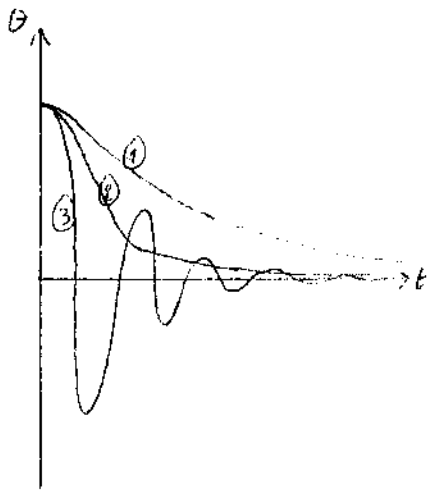
2)c) équation caractéristique : $\lambda^2 + 2\sigma\omega_0\lambda + \omega_0^2 = 0$

$$\Delta' = 4\sigma^2\omega_0^2 - \omega_0^4 = \omega_0^2(\sigma^2 - 1)$$

* $\Delta' > 0 \Leftrightarrow \sigma > 1 \rightarrow$ régime aperiodique (1)

* $\Delta' = 0 \Leftrightarrow \sigma = 1 \rightarrow$ régime aperiodique critique (2)

* $\Delta' < 0 \Leftrightarrow \sigma < 1 \rightarrow$ régime pseudo-periodique amorti (3)



2)d) retour le + rapide à l'équilibre \rightarrow régime aperiodique critique

$$\Rightarrow \boxed{\sigma = 1}$$

$$\Rightarrow \theta = (At + B)e^{-\omega_0 t}$$

ou $\theta(t=0) = \theta_0$ et $\dot{\theta}(t=0) = 0$ (cond. initiales)

$$\Rightarrow \theta(t=0) = B = \theta_0$$

$$\dot{\theta} = e^{-\omega_0 t} [(At + \theta_0)(-\omega_0) + A]$$

$$\dot{\theta}(0) = A - \omega_0\theta_0 = 0 \Rightarrow A = \omega_0\theta_0$$

$$\Rightarrow \boxed{\theta(t) = \theta_0(\omega_0 t + 1)e^{-\omega_0 t}}$$

3)a) à la dér. nulle : $U_1 = rI_1 + L \frac{dI_1}{dt}$

ou pour $t > 0$, $U_1 = -V_0$

$$\Rightarrow L \frac{dI_1}{dt} + rI_1 = -V_0$$

$$\Rightarrow \frac{L}{\lambda} \frac{dI_1}{dt} + I_1 = -\frac{V_0}{\lambda}$$

$$\Rightarrow \boxed{I \frac{dI_1}{dt} + I_1 = -\frac{V_0}{\lambda} \quad \text{avec } I = \frac{L}{\lambda}}$$

3)b) Pour $t < 0$: $U_1 = +V_0 \Rightarrow I \frac{dI_1}{dt} + I_1 = +\frac{V_0}{\lambda}$

\Rightarrow à $t=0^-$, $I_1 = +\frac{V_0}{\lambda}$ car $U_1 = +V_0$ depuis un long

moment \Rightarrow le régime permanent est atteint.

Or on a continuité de l'intensité dans une bobine

$$(E = \frac{1}{2} L i^2 \text{ continue}) \Rightarrow I_1(t=0^+) = I_1(t=0^-)$$

$$\Rightarrow \boxed{I_1(t=0^+) = +\frac{V_0}{\lambda}}$$

$$I \frac{dI_1}{dt} + I_1 = -\frac{V_0}{\lambda}$$

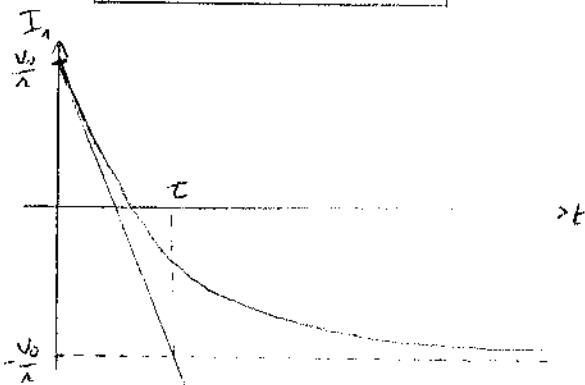
régime permanent
($t \rightarrow \infty$)

$$\Rightarrow \boxed{I_1(t \rightarrow \infty) = -\frac{V_0}{\lambda}}$$

$$3)c) I_1 = K e^{-\frac{t}{\tau}} - \frac{V_0}{\lambda}$$

$$\text{ou } I_1(t=0) = +\frac{V_0}{\lambda} = K - \frac{V_0}{\lambda} \Rightarrow K = \frac{2V_0}{\lambda}$$

$$\Rightarrow \boxed{I_1(t) = \frac{V_0}{\lambda} (2e^{-t/\tau} - 1)}$$



$$\frac{dI_1}{dt} = \frac{2V_0}{\lambda} \left(-\frac{1}{\tau}\right) e^{-t/\tau}$$

$$\left. \frac{dI_1}{dt} \right|_{t=0} = -\frac{2V_0}{\lambda \tau} = -\frac{2V_0}{L} \quad \text{d'où } \tau \text{ graphiquement}$$

$$4)a) \vec{B} = \frac{\mu_0 R^2}{(a^2 + R^2)^{3/2}} (I_1 \vec{u}_x + I_2 \vec{u}_y)$$

$$\vec{F} = M_1 \vec{B} = \frac{\mu_0 M R^2}{(a^2 + R^2)^{3/2}} (-I_1 \sin\theta + I_2 \cos\theta) \vec{u}_z$$

$$\text{équilibre } \Rightarrow \vec{F} = \vec{0} \Rightarrow I_1 \sin\theta = I_2 \cos\theta$$

$$\Rightarrow \tan\theta = \frac{I_2}{I_1}$$

$$\text{ou } U_1 = U_2 = +V_0 \Rightarrow I_1 = I_2 = +\frac{V_0}{\lambda} \text{ en régime permanent}$$

$$\Rightarrow \tan\theta = 1 \Rightarrow \boxed{\theta = 45^\circ}$$

$$4)b) I_2 = +\frac{V_0}{\lambda} \quad \text{et } I_1 = -\frac{V_0}{\lambda} \Rightarrow \tan\theta = -1$$

$$\Rightarrow \boxed{\theta = 135^\circ}$$

4)c)

	U_1	U_2	θ
1	$+V_0$	$+V_0$	45°
2	$-V_0$	$+V_0$	135°
3	$-V_0$	$-V_0$	225°
4	$+V_0$	$-V_0$	315°
	$+V_0$	$+V_0$	$405^\circ \Rightarrow 45^\circ$

\Rightarrow 4 pas par tour

facteur limitant la vitesse de rotation du moteur : c'est le fait que les courants ne basculent pas instantanément de $+\frac{V_0}{2}$ à $-\frac{V_0}{2}$ ($I \neq 0$) à cause de l'inductance L .

4)d) Les moteurs pas à pas servent à faire du positionnement précis (il suffit de choisir une des 200 positions et qu'on les)

ex: scanner, imprimantes

5)a) loi de Faraday: $e = -\frac{d\phi}{dt} = +\phi_0 \dot{\theta} \sin\theta$

$$e = \phi_0 \dot{\theta} \sin\theta$$

on néglige $L \Rightarrow$ schéma électrique des spires 1:



$$\Rightarrow i_1 = \frac{e}{R}$$

$$i_1 = \frac{\phi_0}{R} \dot{\theta} \sin\theta$$

5)b) cf II/a)c) avec $a \gg R$

$$\Rightarrow \vec{B}_1 = \frac{\mu_0 i_1 R^2}{(a^2 + R^2)^{3/2}} \vec{u}_z = \frac{\mu_0 i_1 R^2}{a^3} \vec{u}_z$$

$$\Rightarrow \vec{B}_1 = \frac{\mu_0 \phi_0 R^2}{R a^3} \dot{\theta} \sin\theta \vec{u}_z$$

$$\vec{\Gamma}_1 = \vec{M} \wedge \vec{B}_1 = \frac{\mu_0 M \phi_0 R^2}{R a^3} \dot{\theta} \sin\theta (-\sin\theta) \vec{u}_z$$

$$\Rightarrow \Gamma_1 = -\frac{\mu_0 M \phi_0 R^2}{R a^3} \dot{\theta} \sin^2\theta$$

5)c) $\phi_2 = \phi_0 \sin\theta \Rightarrow \dot{\phi}_2 = -\frac{d\phi_2}{dt} = -\phi_0 \dot{\theta} \cos\theta$

$$i_2 = -\frac{\phi_0}{R} \dot{\theta} \cos\theta$$

$$\vec{B}_2 = \frac{\mu_0 i_2 R^2}{a^3} \vec{u}_z = -\frac{\mu_0 \phi_0 R^2}{R a^3} \dot{\theta} \cos\theta \vec{u}_z$$

$$\vec{\Gamma}_2 = \vec{M} \wedge \vec{B}_2 = -\frac{\mu_0 M \phi_0 R^2}{R a^3} \dot{\theta} \cos\theta (\cos\theta) \vec{u}_z$$

$$\Rightarrow \Gamma_2 = -\frac{\mu_0 M \phi_0 R^2}{R a^3} \dot{\theta} \cos^2\theta$$

$$\Gamma = \Gamma_1 + \Gamma_2 = -\frac{\mu_0 M \phi_0 R^2}{R a^3} \dot{\theta} = \Gamma \quad \text{car } \cos^2\theta + \sin^2\theta = 1$$

\Rightarrow couple qui s'oppose au mouvement ($\propto -\dot{\theta}$)
(\Rightarrow on retrouve la loi de Lenz)

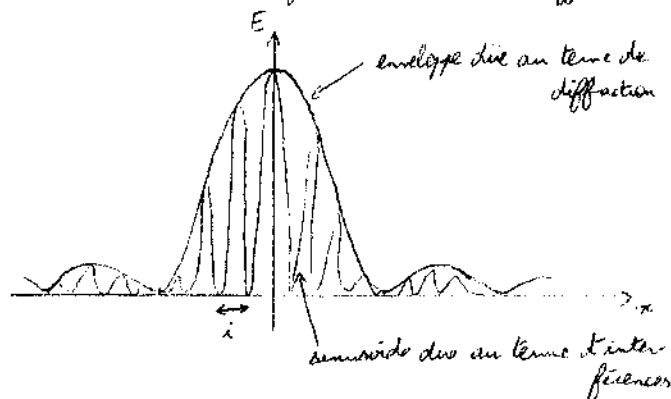
$\Gamma \propto -\dot{\theta} \Rightarrow$ il suffit de remplacer α par

$$\left(\alpha + \frac{\mu_0 M \phi_0 R^2}{R a^3} \right)$$

III) Interprétation de la courbe d'interférence:

1) Exploitation de la courbe d'interférence:

$$1) a) E = E_0 \underbrace{\left(1 + \cos \frac{\pi D x}{\lambda D} \right)}_{\text{terme d'interférence}} \underbrace{\text{sinc}^2 \frac{\pi d x}{\lambda D}}_{\text{terme de diffraction}}$$



1) b) lecture graphique de l'interfrange: $i = 2,2 \text{ mm} = \frac{\lambda D}{\alpha}$

$$\Rightarrow e = \frac{\lambda D}{i} = 5,8 \cdot 10^{-4} \text{ m} \Rightarrow e = 0,58 \text{ mm}$$

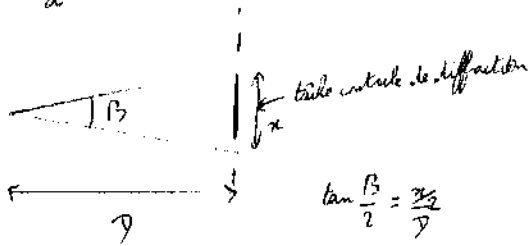
* annulation (la 1^{ère}) de sinc^2 pour $\pi = \frac{\pi d x}{\lambda D}$

$$\Rightarrow x = \frac{\lambda D}{d} = 10 \text{ mm} \Rightarrow d = \frac{\lambda D}{x}$$

lecture graphique $\Rightarrow d = 0,13 \text{ mm}$

* on utilise méthode (y' énoncé):

$$\beta = \frac{2\lambda}{d}$$



$$\tan \frac{\beta}{2} = \frac{x}{D}$$

$$\Rightarrow \beta = \frac{2x}{D} = \frac{x}{D}$$

$$\text{or } \beta = \frac{2\lambda}{d} \Rightarrow d = \frac{2\lambda D}{x}$$

avec $x = 20 \text{ mm}$ (lecture graphique)

$$\Rightarrow d = 0,13 \text{ mm}$$

1) c) caméra avec système CCD (plusieurs systèmes \Rightarrow pas besoin de translater).
2) Vérification optique de l'écartement:

$$2) a) \quad -\frac{1}{\overline{OA}} + \frac{1}{\overline{OA}'} = \frac{1}{\overline{OF}'}$$

or $\overline{OF}' = +f'$ (lentille convergente)

$$\overline{OA} = p$$

$$\overline{OA}' = \overline{OA} + \overline{AA}' = p + L$$

$$\Rightarrow -\frac{1}{p} + \frac{1}{p+L} = \frac{1}{f'}$$

$$\Rightarrow \frac{-p-L+p}{p(p+L)} = \frac{1}{f'} \Rightarrow p(p+L) = -Lf'$$

$$\Rightarrow p^2 + Lp + Lf' = 0$$

$$\Delta = L^2 - 4Lf' = L(L - 4f') > 0 \quad (\text{car } AN)$$

$$\Rightarrow p = \frac{-L \pm \sqrt{L(L-4f')}}{2}$$

$$p_1 = \frac{-L - \sqrt{L(L-4f')}}{2}$$

$$p_2 = \frac{-L + \sqrt{L(L-4f')}}{2}$$

$$2) b) \quad \gamma = \frac{\overline{OA}'}{\overline{OA}} = \frac{p+L}{p} = 1 + \frac{L}{p}$$

$$\gamma = 1 + \frac{L}{\frac{-L \pm \sqrt{L(L-4f')}}{2}} = 1 + \frac{2}{-1 \pm \sqrt{1-4\frac{f'}{L}}}$$

On s'intéresse au cas $|\gamma| > 1$, c'est-à-dire $\gamma < -1$

$$\Rightarrow \gamma = 1 + \frac{2}{-1 + \sqrt{1-4\frac{f'}{L}}}$$

$$\Rightarrow \gamma = -17,3$$

$$2) c) \quad \gamma = \frac{\overline{A'B'}}{\overline{AB}} \Rightarrow |\gamma| = \frac{e'}{e}$$

$$\Rightarrow e = \frac{e'}{|\gamma|} = \frac{0,57 \text{ mm}}{181} \approx 0,58 \text{ mm} \quad (f_1) \quad (f_2)$$

\Rightarrow cohérent.